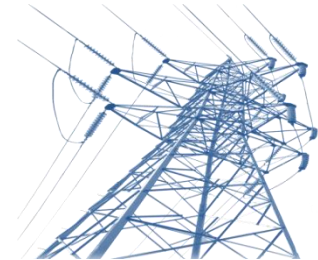


工程电磁场

稻叶先生





4. 动态电磁场 基本理论与准静态电磁场

4.1 动态电磁场基本方程与边界条件

4.1.1 动态电磁场的基本方程

积分方程

全电流定律:
$$\oint_l \mathbf{H} \cdot d\mathbf{l} = \int_s \left(\mathbf{J} + \frac{\partial \mathbf{D}}{\partial t} \right) \cdot d\mathbf{S}$$

电磁感应定律:
$$\oint_l \mathbf{E} \cdot d\mathbf{l} = - \int_s \frac{\partial \mathbf{B}}{\partial t} \cdot d\mathbf{S}$$

磁通连续性:
$$\oint_s \mathbf{B} \cdot d\mathbf{S} = 0$$

高斯定理:
$$\oint_s \mathbf{D} \cdot d\mathbf{S} = \int_v \rho dV$$

本构关系:
$$\mathbf{J} = \gamma \mathbf{E} \quad \mathbf{D} = \varepsilon \mathbf{E} \quad \mathbf{B} = \mu \mathbf{H}$$

微分方程

$$\nabla \times \mathbf{H} = \mathbf{J} + \frac{\partial \mathbf{D}}{\partial t}$$

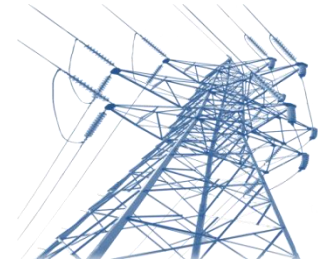
$$\nabla \times \mathbf{E} = - \frac{\partial \mathbf{B}}{\partial t}$$

$$\nabla \cdot \mathbf{B} = 0$$

$$\nabla \cdot \mathbf{D} = \rho$$

参数与频率也有关系

4. 动态电磁场 基本理论与准静态电磁场



4.1.2 动态电磁场的边界条件

(1) 不同媒质分界面

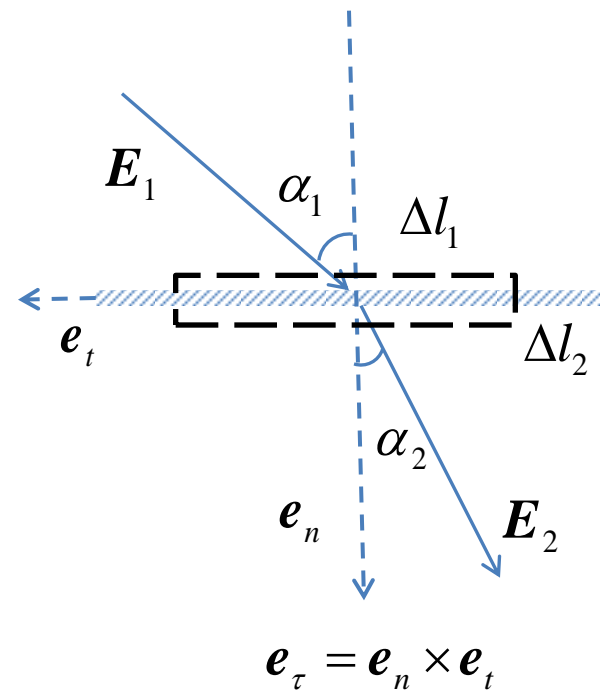
由
$$\oint_l \mathbf{E} \cdot d\mathbf{l} = - \int_s \frac{\partial \mathbf{B}}{\partial t} \cdot d\mathbf{S}$$

➡
$$E_{1t} \Delta l_1 - E_{2t} \Delta l_1 = - \left(\frac{\partial \mathbf{B}}{\partial t} \right) \Big|_{\tau} \Delta l_1 \Delta l_2$$

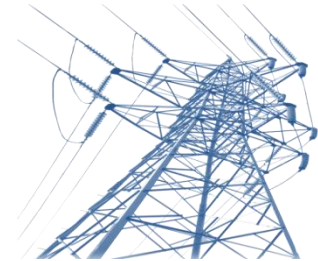
➡
$$E_{1t} - E_{2t} = - \left(\frac{\partial \mathbf{B}}{\partial t} \right) \Big|_{\tau} \Delta l_2 \quad \text{➡} \quad E_{1t} - E_{2t} = 0$$

同理由
$$\oint_l \mathbf{H} \cdot d\mathbf{l} = \int_s \left(\mathbf{J} + \frac{\partial \mathbf{D}}{\partial t} \right) \cdot d\mathbf{S} \quad \text{➡} \quad H_{1t} - H_{2t} = K$$

对于 \mathbf{B} , \mathbf{D} 的边界条件, 同理可得 $B_{1n} = B_{2n} \quad D_{2n} - D_{1n} = \sigma$



4. 动态电磁场 基本理论与准静态电磁场



4.1.2 动态电磁场的边界条件

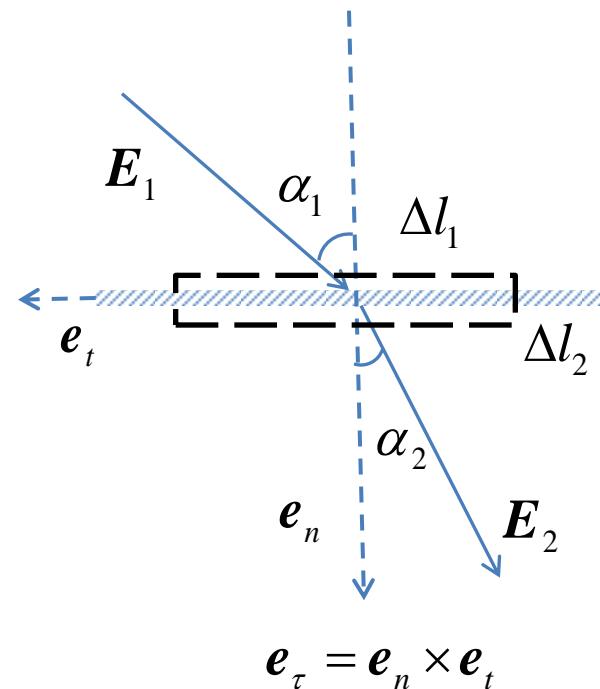
矢量形式：

$$\mathbf{e}_n \times (\mathbf{H}_2 - \mathbf{H}_1) = \mathbf{K}$$

$$\mathbf{e}_n \times (\mathbf{E}_2 - \mathbf{E}_1) = 0$$

$$\mathbf{e}_n \cdot (\mathbf{B}_2 - \mathbf{B}_1) = 0$$

$$\mathbf{e}_n \cdot (\mathbf{D}_2 - \mathbf{D}_1) = \sigma$$

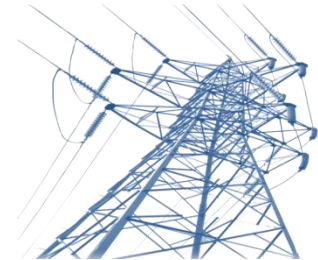


(2) 理想导体与介质

理想导体内： $\gamma_1 \rightarrow \infty$ $J_{c1} = C < \infty$ $\Rightarrow E_1 = 0$

由 $\nabla \times \mathbf{E} = -\frac{\partial \mathbf{B}}{\partial t}$ $\Rightarrow \frac{\partial \mathbf{B}}{\partial t} = 0$ $\Rightarrow \mathbf{B} = 0$ 或者 $\mathbf{B} = \mathbf{C}$ 静态场不考虑

4. 动态电磁场 基本理论与准静态电磁场



4.1.2 动态电磁场的边界条件

由此可得 $\mathbf{B}_1 = \mathbf{H}_1 = 0$ $\mathbf{D}_1 = \varepsilon \mathbf{E}_1 = 0$

结合一般条件下（两种不同介质）的边界条件
适量形式，

$$\mathbf{e}_n \times \mathbf{H}_2 = \mathbf{K}$$

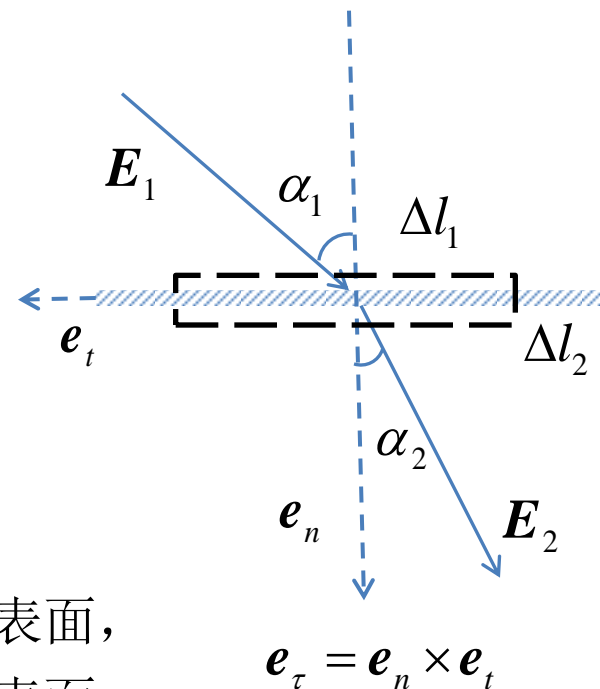
$$\mathbf{e}_n \times \mathbf{E}_2 = \mathbf{e}_n \times \mathbf{E}_1 = 0$$

$$\mathbf{e}_n \cdot \mathbf{B}_2 = \mathbf{e}_n \cdot \mathbf{B}_1 = 0$$

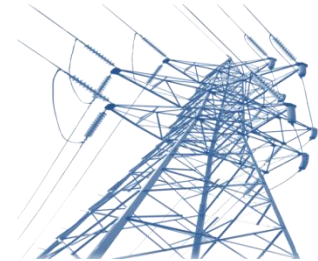
$$\mathbf{e}_n \cdot \mathbf{D}_2 = \sigma$$



电场线垂直于导体表面，
磁场线沿理想导体表面



4. 动态电磁场 基本理论与准静态电磁场



例4-1：无限大理想导体平板间的无源自由空间中，动态电磁场的磁场强度为

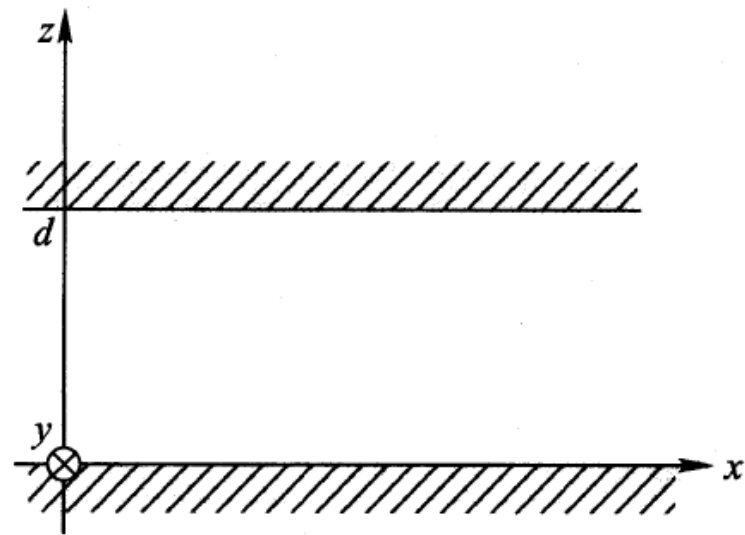
$$\mathbf{H} = \mathbf{e}_y H_0 \cos\left(\frac{\pi}{d} z\right) \cos(\omega t - \beta x)$$

求：(1) 板间时变的电场强度 \mathbf{E} ；

(2) 两导体表面上时变的面电流密度 K 和电荷面密度 σ 。

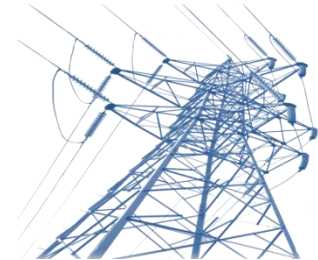
解 (1)：

由无源空间以及 $\nabla \times \mathbf{H} = \mathbf{J} + \frac{\partial \mathbf{D}}{\partial t}$

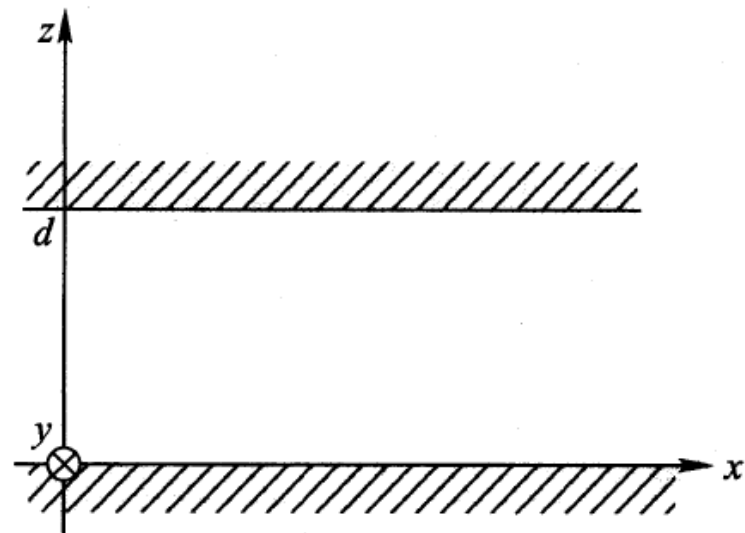


$$\Rightarrow \frac{\partial \mathbf{E}}{\partial t} = \frac{1}{\varepsilon} \nabla \times \mathbf{H} = \frac{1}{\varepsilon} \left(-\mathbf{e}_x \frac{\partial H_y}{\partial z} + \mathbf{e}_z \frac{\partial H_y}{\partial x} \right)$$

4. 动态电磁场 基本理论与准静态电磁场



$$\begin{aligned} \Rightarrow \mathbf{E} &= \frac{1}{\varepsilon} \int \left(-\mathbf{e}_x \frac{\partial H_y}{\partial z} + \mathbf{e}_z \frac{\partial H_y}{\partial x} \right) dt \\ &= \frac{H_0}{\omega \varepsilon} \left[\frac{\pi}{d} \sin \left(\frac{\pi}{d} z \right) \sin (\omega t - \beta x) \mathbf{e}_x \right. \\ &\quad \left. - \beta \cos \left(\frac{\pi}{d} z \right) \cos (\omega t - \beta x) \mathbf{e}_z \right] \end{aligned}$$



(2)

两个导体表面，即导体真空交界面，分别讨论。当 $z=0$ 时

交界面的法向： $\mathbf{e}_n = \mathbf{e}_z$

由理想导体与介质交界面连续性条件， $\mathbf{e}_n \times \mathbf{H}_2 = \mathbf{K}$ ，可得

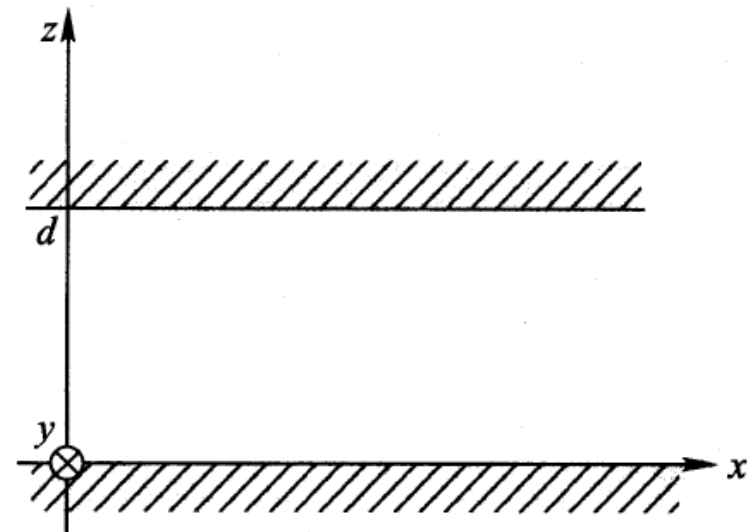
$$\mathbf{K}' = \mathbf{e}_n \times \mathbf{H}_2 = (\mathbf{e}_z \times \mathbf{e}_y) H_0 \cos \left(\frac{\pi}{d} z \right) \cos (\omega t - \beta x) \Big|_{z=0} = -\mathbf{e}_x H_0 \cos (\omega t - \beta x)$$

4. 动态电磁场 基本理论与准静态电磁场



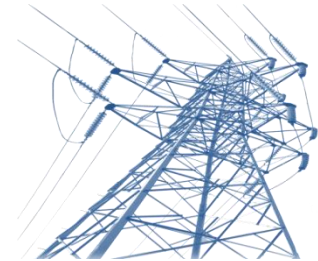
$$\begin{aligned}\sigma' &= \mathbf{e}_n \cdot \mathbf{D}_2 = \mathbf{e}_n \cdot (\varepsilon \mathbf{E}_2) \\ &= \mathbf{e}_z \cdot \varepsilon \frac{H_0}{\omega \varepsilon} \left[\frac{\pi}{d} \sin\left(\frac{\pi}{d} z\right) \sin(\omega t - \beta x) \mathbf{e}_x \right. \\ &\quad \left. - \beta \cos\left(\frac{\pi}{d} z\right) \cos(\omega t - \beta x) \mathbf{e}_z \right]_{z=0}\end{aligned}$$

$$= -\frac{\varepsilon H_0}{\omega \varepsilon} \beta \cos\left(\frac{\pi}{d} z\right) \cos(\omega t - \beta x) \Big|_{z=0} = -\frac{\beta H_0}{\omega} \cos(\omega t - \beta x)$$



当 $z=d$ 时 交界面的法向: $\mathbf{e}_n = -\mathbf{e}_z$

$$\mathbf{K}'' = \mathbf{e}_n \times \mathbf{H}_2 = -\mathbf{e}_x H_0 \cos(\omega t - \beta x) \quad \sigma'' = \mathbf{e}_n \cdot \mathbf{D}_2 = -\frac{\beta H_0}{\omega} \cos(\omega t - \beta x)$$



4. 动态电磁场 基本理论与准静态电磁场

4.2 时谐电磁场

4.2.1 时谐场的复数表示

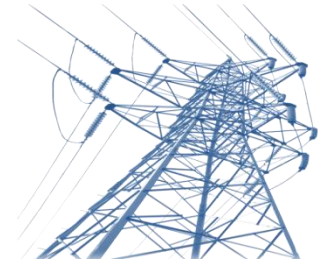
背景： 工程中，场源及其所产生的电场、磁场都随时间作正弦变化，非正弦变化也可以分解为基波及高次谐波分量的叠加。

时谐电磁场： 随时间作正弦变化的时变电磁场

瞬时矢量：
$$\mathbf{E}(\mathbf{r}, t) = \mathbf{e}_x E_{xm}(\mathbf{r}) [\cos \omega t + \phi_x(\mathbf{r})] + \mathbf{e}_y E_{ym}(\mathbf{r}) [\cos \omega t + \phi_y(\mathbf{r})] + \mathbf{e}_z E_{zm}(\mathbf{r}) [\cos \omega t + \phi_z(\mathbf{r})] \quad (1)$$

$E_{xm}(\mathbf{r})$ 振幅 $\phi_x(\mathbf{r})$ 初相位

采用正弦量的相量表示法，上式可以表示为如下复矢量（相量）：



4. 动态电磁场 基本理论与准静态电磁场

4.2.1 时谐场的复数表示

$$\dot{\mathbf{E}}_m(\mathbf{r}) = \mathbf{e}_x \dot{E}_{xm}(\mathbf{r}) + \mathbf{e}_y \dot{E}_{ym}(\mathbf{r}) + \mathbf{e}_z \dot{E}_{zm}(\mathbf{r}) \quad (2)$$

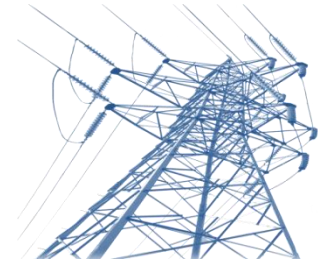
$$\text{其中} \quad \dot{E}_{xm}(\mathbf{r}) = E_{xm} e^{j\phi_x} \quad \dot{E}_{ym}(\mathbf{r}) = E_{ym} e^{j\phi_y} \quad \dot{E}_{zm}(\mathbf{r}) = E_{zm} e^{j\phi_z}$$

考虑 (1) 与 (2) 的关系,

(1) \rightarrow (2):

a. 将 (1) 式中各方向的分量加上虚部,

$$\begin{aligned} \mathbf{E}'(\mathbf{r}, t) = & \mathbf{e}_x E_{xm}(\mathbf{r}) \left\{ \cos \omega t + \phi_x(\mathbf{r}) + j \left[\sin \omega t + \phi_x(\mathbf{r}) \right] \right\} \\ & + \mathbf{e}_y E_{ym}(\mathbf{r}) \left\{ \cos \omega t + \phi_y(\mathbf{r}) + j \left[\sin \omega t + \phi_y(\mathbf{r}) \right] \right\} + \dots \end{aligned}$$



4. 动态电磁场 基本理论与准静态电磁场

4.2.1 时谐场的复数表示

$$\mathbf{E}'_m(\mathbf{r}, t) = \mathbf{e}_x E_{xm}(\mathbf{r}) e^{j\omega t} e^{j\phi_x} + \mathbf{e}_y E_{ym}(\mathbf{r}) e^{j\omega t} e^{j\phi_y} + \mathbf{e}_z E_{zm}(\mathbf{r}) e^{j\omega t} e^{j\phi_z}$$

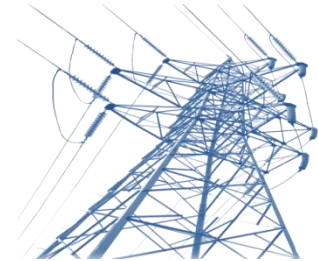
b. 去掉与时间相关的指数项，记作，

$$\begin{aligned}\dot{\mathbf{E}}_m(\mathbf{r}) &= \mathbf{e}_x E_{xm}(\mathbf{r}) e^{j\phi_x} + \mathbf{e}_y E_{ym}(\mathbf{r}) e^{j\phi_y} + \mathbf{e}_z E_{zm}(\mathbf{r}) e^{j\phi_z} \\ &= \mathbf{e}_x \dot{E}_{xm}(\mathbf{r}) + \mathbf{e}_y \dot{E}_{ym}(\mathbf{r}) + \mathbf{e}_z \dot{E}_{zm}(\mathbf{r})\end{aligned}$$

(2) \rightarrow (1):

$$\mathbf{E}_m(\mathbf{r}, t) = \text{Re} \left[\dot{\mathbf{E}}_m(\mathbf{r}) e^{j\omega t} \right] = \text{Re} \left[\sqrt{2} \dot{\mathbf{E}}(\mathbf{r}) e^{j\omega t} \right]$$

基于峰值的表示 基于有效值的表示



4. 动态电磁场 基本理论与准静态电磁场

4.2.1 时谐场的复数表示

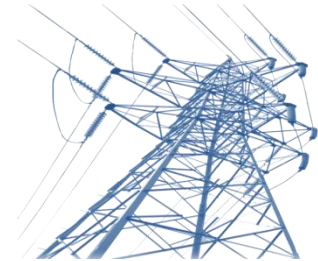
例4-2：写出下列与时谐电磁场对应的复矢量（有效值）或瞬时矢量

$$(1) \quad \dot{H}_x = jH_0 \sin \theta \cos(\beta x \cos \theta) e^{-j\beta z \sin \theta}$$

$$(2) \quad \mathbf{E} = \mathbf{e}_y E_{ym} \cos(\omega t - \beta x + \alpha) + \mathbf{e}_z E_{zm} \sin(\omega t - \beta x + \alpha)$$

解：

$$\begin{aligned} (1) H_x &= \operatorname{Re} \left[\sqrt{2} \dot{H}_x e^{j\omega t} \right] = \operatorname{Re} \left[\sqrt{2} jH_0 \sin \theta \cos(\beta x \cos \theta) e^{j\omega t - j\beta z \sin \theta} \right] \\ &= \operatorname{Re} \left\{ \sqrt{2} jH_0 \sin \theta \cos(\beta x \cos \theta) \left[\cos(\omega t - \beta z \sin \theta) + j \sin(\omega t - \beta z \sin \theta) \right] \right\} \\ &= -\sqrt{2} H_0 \sin \theta \cos(\beta x \cos \theta) \sin(\omega t - \beta z \sin \theta) \end{aligned}$$



4. 动态电磁场 基本理论与准静态电磁场

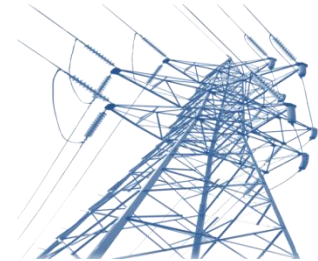
4.2.1 时谐场的复数表示

$$\begin{aligned}(2) \quad \mathbf{E}'_m(\mathbf{r}, t) &= \mathbf{e}_y E_{ym} \left[\cos(\omega t - \beta x + \alpha) + j \sin(\omega t - \beta x + \alpha) \right] \\ &\quad + \mathbf{e}_z E_{zm} \left[\cos\left(\omega t - \beta x + \alpha - \frac{\pi}{2}\right) + j \sin\left(\omega t - \beta x + \alpha - \frac{\pi}{2}\right) \right] \\ &= \mathbf{e}_y E_{ym} e^{j[\omega t + (\alpha - \beta x)]} + \mathbf{e}_z E_{zm} e^{j[\omega t + (\alpha - \beta x) - \frac{\pi}{2}]} \\ &= \mathbf{e}_y E_{ym} e^{j[\omega t + (\alpha - \beta x)]} + \mathbf{e}_z E_{zm} e^{j[\omega t + (\alpha - \beta x)]} e^{-j\frac{\pi}{2}}\end{aligned}$$

$$\Rightarrow \dot{\mathbf{E}}(\mathbf{r}, t) = \mathbf{e}_y \frac{E_{ym}}{\sqrt{2}} e^{-j(\beta x - \alpha)} - \mathbf{e}_z j \frac{E_{zm}}{\sqrt{2}} e^{-j(\beta x - \alpha)}$$

$$\dot{\mathbf{E}}(\mathbf{r}, t) = \mathbf{e}_y E_y e^{-j(\beta x - \alpha)} - \mathbf{e}_z j E_z e^{-j(\beta x - \alpha)}$$

4. 动态电磁场 基本理论与准静态电磁场

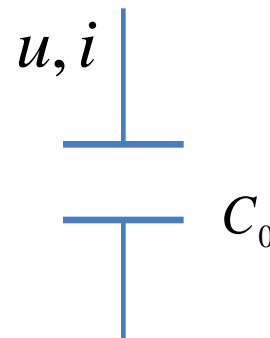


4.2.2 有损媒质的复数表示

复介电常数:

右图所示为理想无损电容器（板间为真空），设其电容为 C_0 ，当其两极板上加有角频率为 ω 的正弦电压 u 时，有

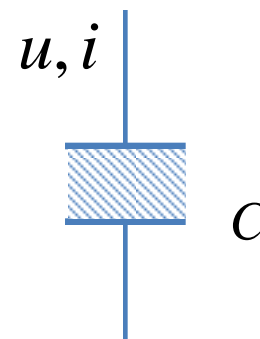
$$\dot{I} = j\omega C_0 \dot{U} \quad \left(i = C_0 \frac{\partial u}{\partial t} \right)$$



若将极板间充满相对介电常数为 ε_r 的电介质，则电容器电容 $C = \varepsilon_r C_0$

$$\dot{I} = j\omega C \dot{U} = j\omega \varepsilon_r C_0 \dot{U} \quad ※$$

理论上，※式中电压、电流应相差90度，但测量发现小于90度，导致该问题的应该是相对介电常数。



4. 动态电磁场 基本理论与准静态电磁场

4.2.2 有损媒质的复数表示

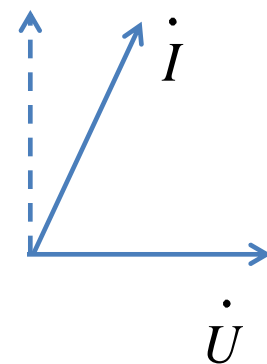
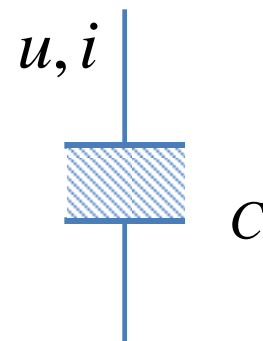
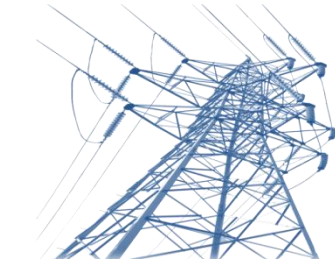
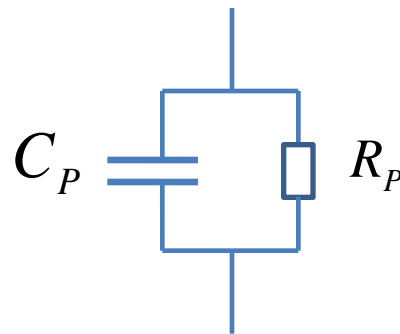
$$\begin{aligned}\dot{I} &= \omega \varepsilon_r'' C_0 \dot{U} + j\omega \varepsilon_r' C_0 \dot{U} \\ &= j\omega (\varepsilon_r' - j\varepsilon_r'') C_0 \dot{U} \quad \times \times\end{aligned}$$

将 \times 式与 $\times \times$ 式比较, 可得 $\varepsilon_r = \varepsilon_r' - j\varepsilon_r'' \Rightarrow$ 复相对介电常数

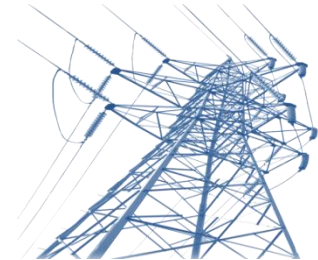
$\Rightarrow \varepsilon = \varepsilon_r \varepsilon_0 = \varepsilon' - j\varepsilon''$ 复介电常数

由以上分析, 可得

$$C_P = \varepsilon_r' C_0 \quad R_P = \frac{1}{\omega \varepsilon_r'' C_0}$$



介质有损耗, 是极化时产生, 但这种损耗不是欧姆损耗, 称之为**极化损耗**



4. 动态电磁场 基本理论与准静态电磁场

4.2.2 有损媒质的复数表示

从场的角度来看, $\nabla \times \mathbf{H} = \mathbf{J}_c + \frac{\partial \mathbf{D}}{\partial t}$

对于时谐场, 有 $\nabla \times \dot{\mathbf{H}} = \gamma \dot{\mathbf{E}} + j\omega\epsilon \dot{\mathbf{E}}$

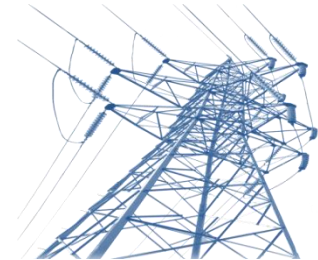
$$= j\omega\epsilon \dot{\mathbf{E}} + j\omega \left(-j \frac{\gamma}{\omega} \right) \dot{\mathbf{E}}$$

$$= j\omega \left(\epsilon - j \frac{\gamma}{\omega} \right) \dot{\mathbf{E}}$$

$$\epsilon = \epsilon' - j\epsilon'' \quad \Rightarrow \quad = j\omega \left[\epsilon' - j \left(\epsilon'' + \frac{\gamma}{\omega} \right) \right] \dot{\mathbf{E}} = j\omega\epsilon_e \dot{\mathbf{E}}$$

$$\epsilon_e = \epsilon' - j \left(\epsilon'' + \frac{\gamma}{\omega} \right) \quad \text{等效复介电常数}$$





4. 动态电磁场 基本理论与准静态电磁场

4.2.2 有损媒质的复数表示

等效复介电常数的虚部与损耗相关，工程中引入介质损耗角表征损耗的特性，

$$\tan \delta = \frac{\varepsilon'' + \frac{\gamma}{\omega}}{\varepsilon'} \quad \text{表征电介质特性的重要参数}$$

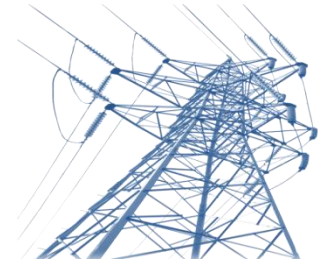
工程上希望该值越小越好，即意味着绝缘特性越好。

(1) 微波炉加热面食，菜，肉： $\tan \delta = 0.073$

聚苯乙烯泡沫： $\tan \delta = 3 \times 10^{-5}$

$$(2) \text{ 导电媒质: } \varepsilon'' = 0 \quad \tan \delta = \frac{\gamma}{\varepsilon' \omega} = \frac{\gamma E}{\varepsilon' \omega E} = \frac{|J|}{|j\omega \dot{D}|}$$

显然导体中传导电流远大于位移电流 $\Rightarrow \tan \delta \gg 1$



4. 动态电磁场 基本理论与准静态电磁场

4.2.2 有损媒质的复数表示

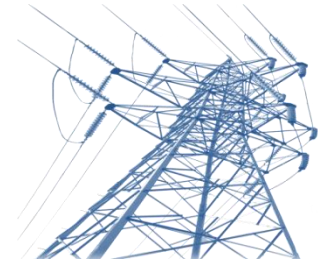
工频50赫兹条件下, $\tan \delta = 2.085 \times 10^{-6}$ 铜

$\tan \delta = 1.366 \times 10^{-6}$ 铝

类似地, 当媒质处于磁场中时, 有

$$\mu = \mu' - j\mu''$$





4. 动态电磁场 基本理论与准静态电磁场

4.3 电磁场能量 坡印廷定理

回顾：静态场 $W_e = \frac{1}{2} \int_V \mathbf{D} \cdot \mathbf{E} dV$ $W_m = \frac{1}{2} \int_V \mathbf{B} \cdot \mathbf{H} dV$ $P = \int_V \mathbf{E} \cdot \mathbf{J} dV$

思考：动态场 能量变化 能量流动（转化） 能量守恒

单位体积内，动态电磁场在导电媒质中消耗的电功率为：

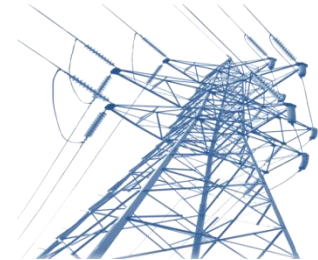
$$\mathbf{E} \cdot \mathbf{J} = \mathbf{E} \cdot \left(\nabla \times \mathbf{H} - \frac{\partial \mathbf{D}}{\partial t} \right)$$

➡ $-\nabla \cdot (\mathbf{E} \times \mathbf{H}) = \frac{\partial}{\partial t} \left(\frac{1}{2} \mathbf{E} \cdot \mathbf{D} + \frac{1}{2} \mathbf{H} \cdot \mathbf{B} \right) + \mathbf{E} \cdot \mathbf{J}$ 坡印廷定理微分形式

由散度定理 $-\oint_S (\mathbf{E} \times \mathbf{H}) \cdot d\mathbf{S} = \frac{d}{dt} \int_V (w_e + w_m) dV + \int_V (\mathbf{E} \cdot \mathbf{J}) dV$

$$= \frac{d}{dt} (W_e + W_m) + P$$
 坡印廷定理积分形式





4. 动态电磁场 基本理论与准静态电磁场

4.3 电磁场能量 坡印廷定理

$$-\oint_S (\mathbf{E} \times \mathbf{H}) \cdot d\mathbf{S} = \frac{d}{dt} \int_V (w_e + w_m) dV + \int_V (\mathbf{E} \cdot \mathbf{J}) dV$$

$\mathbf{S}_p = \mathbf{E} \times \mathbf{H}$ **坡印廷矢量：**单位时间内穿过单位面积的电磁能量

坡印廷定理：单位时间内穿过闭合面 \mathbf{S} 流入体积 V 的电磁能量，等于该体积内电磁能量 W 的增加率和电磁能量的消耗率。

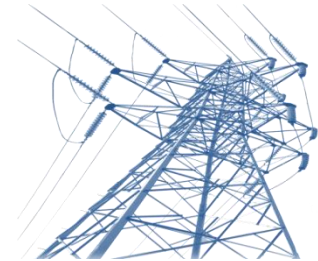
对于时谐场，有

$$-\oint_S (\dot{\mathbf{E}} \times \dot{\mathbf{H}}^*) \cdot d\mathbf{S} = \int_V \left[\dot{\mathbf{E}} \cdot \dot{\mathbf{J}}^* + j\omega (\dot{\mathbf{B}} \cdot \dot{\mathbf{H}}^* - \dot{\mathbf{E}} \cdot \dot{\mathbf{D}}^*) \right] dV$$

对于有损媒质，上式可进一步写为

$$-\oint_S (\dot{\mathbf{E}} \times \dot{\mathbf{H}}^*) \cdot d\mathbf{S} = \int_V \left[\underbrace{\gamma E^2 + \omega \varepsilon'' E^2 + \omega \mu'' H^2}_{\text{有功}} + \underbrace{j\omega (\mu' H^2 - \varepsilon' E^2)}_{\text{无功}} \right] dV$$

4. 动态电磁场 基本理论与准静态电磁场



4.3 电磁场能量 坡印廷定理

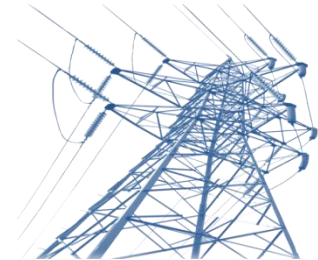
$$-\oint_S \left(\dot{\mathbf{E}} \times \dot{\mathbf{H}}^* \right) \cdot d\mathbf{S} = \int_V \left[\gamma E^2 + \omega \varepsilon'' E^2 + \omega \mu'' H^2 + j\omega (\mu' H^2 - \varepsilon' E^2) \right] dV$$

$\tilde{S}_p = \dot{\mathbf{E}} \times \dot{\mathbf{H}}^*$ 复坡印廷矢量：实部对应于媒质吸收的有功功率，等于电磁功率面密度矢量的平均值，即下式

$$S_{av} = \frac{1}{T} \int_0^T S(\mathbf{r}, t) dt = \text{Re} \left[\dot{\mathbf{E}} \times \dot{\mathbf{H}}^* \right]$$



4. 动态电磁场 基本理论与准静态电磁场



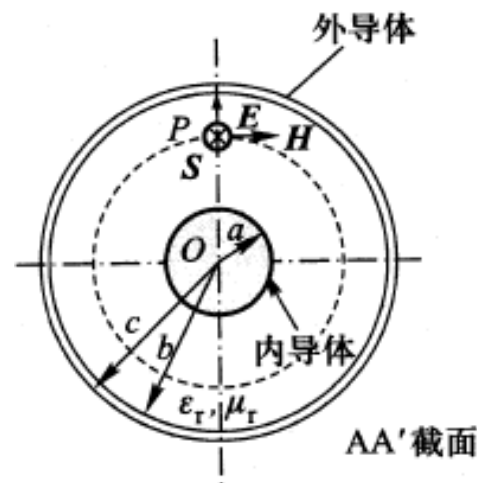
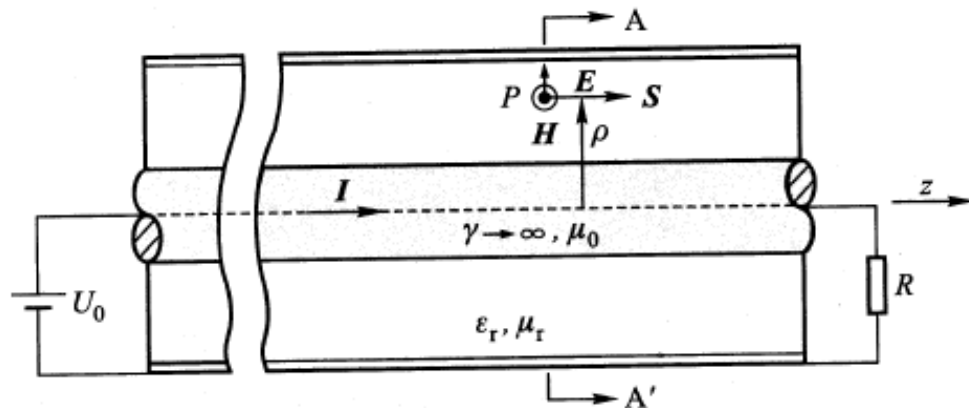
4.3 电磁场能量 坡印廷定理

例4-3：直流电压源 U_0 经下图所示同轴电缆，向负载 R 供电，求同轴电缆传输功率 P_R ，内导体半径 a ，外导体内外半径分别为 b 、 c 。基于坡印廷定理分析其能量传输过程。

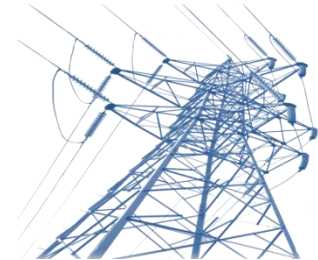
分析：由动态下的坡印廷矢量定理，

$$-\oint_S (\mathbf{E} \times \mathbf{H}) \cdot d\mathbf{S} = \frac{d}{dt}(W_e + W_m) + \int_V (\mathbf{E} \cdot \mathbf{J}) dV$$

➡ 静态下： $-\oint_S (\mathbf{E} \times \mathbf{H}) \cdot d\mathbf{S} = \int_V (\mathbf{E} \cdot \mathbf{J}) dV = P$



4. 动态电磁场 基本理论与准静态电磁场



解：

内导体电位为 U_0 ，外导体电位为零，
电流 $I = U_0 / R$ 。

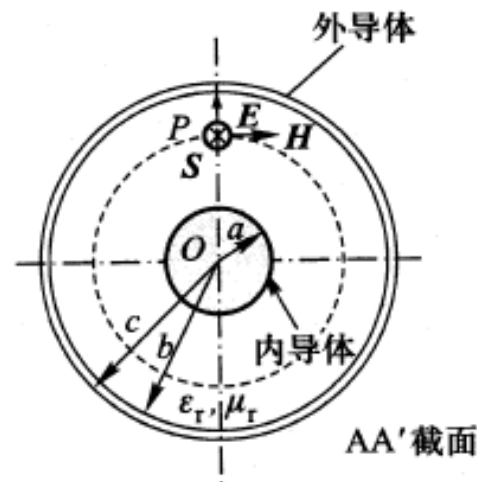
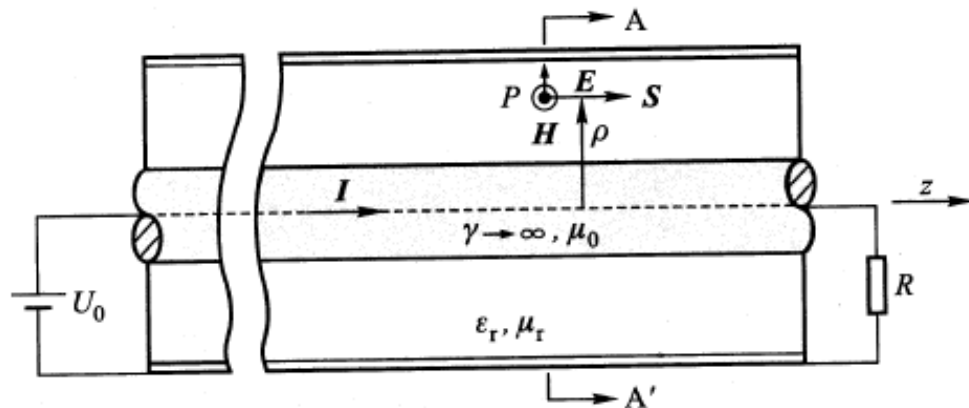
电场：

导体：

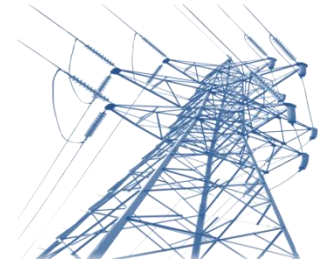
对于内导体 ($0 \leq \rho < a$) 和外导体 ($b < \rho \leq c$)，可
认为 $\gamma \rightarrow \infty$ ，而 \mathbf{J}_c 有限，故 $\mathbf{E} = 0$ 。

媒质：

$$\mathbf{E} = \frac{U_0}{\rho \ln \frac{b}{a}} \mathbf{e}_\rho \quad (a \leq \rho \leq b)$$



4. 动态电磁场 基本理论与准静态电磁场



磁场:

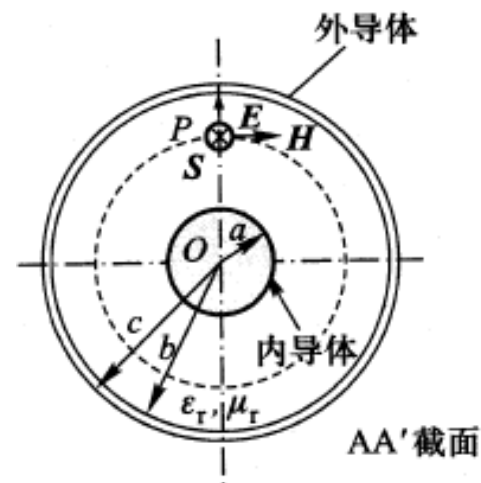
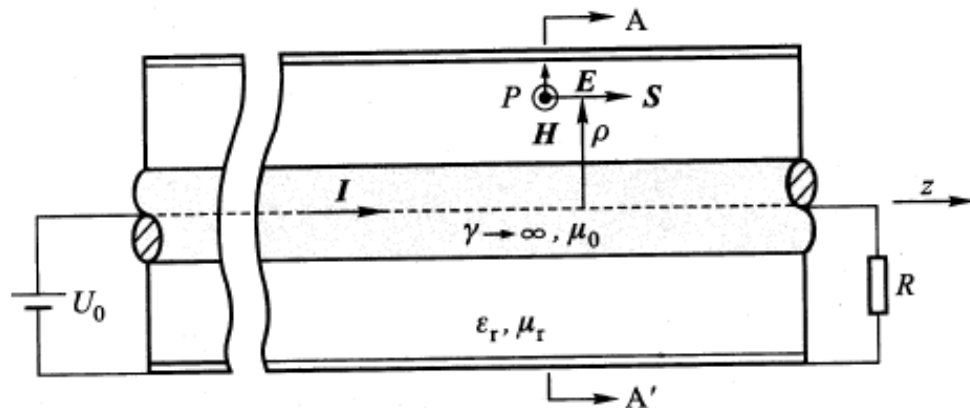
内导体:

$$\mathbf{H} = \frac{I\rho}{2\pi a^2} \mathbf{e}_\phi = \frac{U_0\rho}{R2\pi a^2} \mathbf{e}_\phi \quad (0 \leq \rho < a)$$

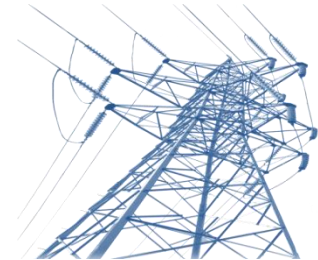
媒质: $\mathbf{H} = \frac{U_0}{R2\pi\rho} \mathbf{e}_\phi \quad (a \leq \rho \leq b)$

外导体:

$$\mathbf{H} = \frac{U_0}{R2\pi\rho} \left(1 - \frac{\rho^2 - b^2}{c^2 - b^2} \right) \mathbf{e}_\phi \quad (b < \rho < c)$$



4. 动态电磁场 基本理论与准静态电磁场

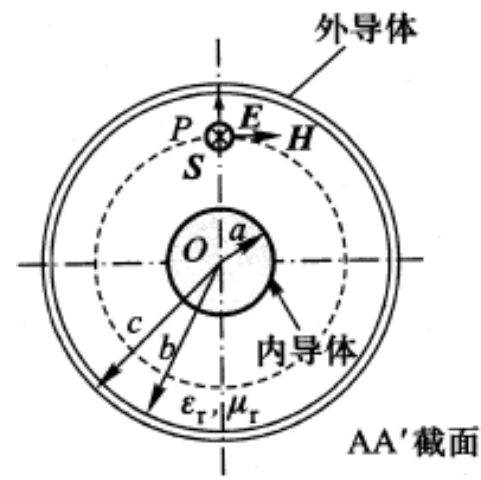
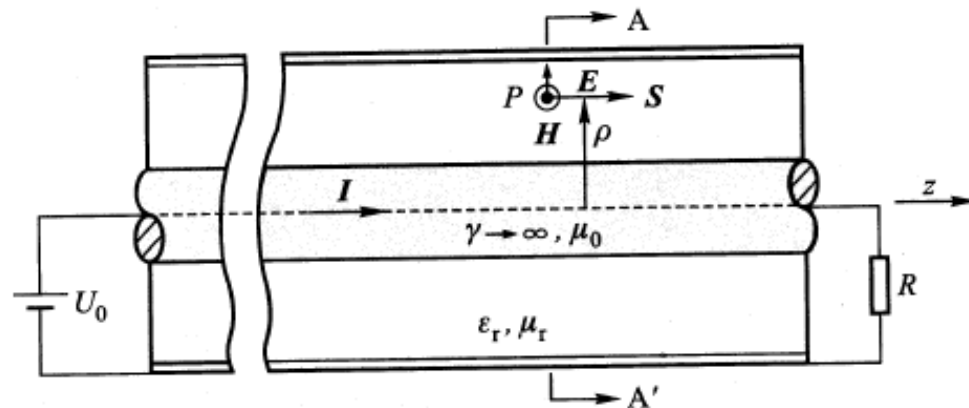


$$-\oint_S (\mathbf{E} \times \mathbf{H}) \cdot d\mathbf{S} = P$$

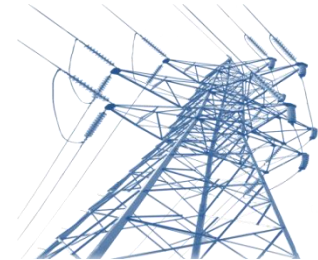
空间电磁场分布:

$$\mathbf{E} = \begin{cases} 0 & 0 \leq \rho < a \\ \frac{U_0}{\rho \ln\left(\frac{b}{a}\right)} \mathbf{e}_\rho & a \leq \rho \leq b \\ 0 & b < \rho < c \\ 0 & \rho > c \end{cases} \quad \mathbf{H} = \begin{cases} \frac{U_0}{2\pi a^2 R} \rho \mathbf{e}_\phi & 0 \leq \rho < a \\ \frac{U_0}{2\pi R \rho} \mathbf{e}_\phi & a \leq \rho \leq b \\ \frac{U_0}{2\pi R \rho} \left(1 - \frac{\rho^2 - b^2}{c^2 - b^2}\right) \mathbf{e}_\phi & b < \rho < c \\ 0 & \rho \geq c \end{cases}$$

代入上式, 可得



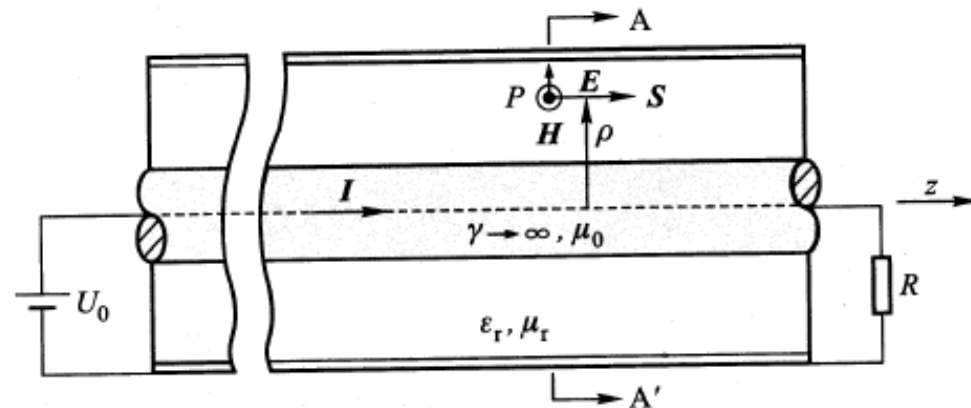
4. 动态电磁场 基本理论与准静态电磁场



$$S_p = E \times H$$

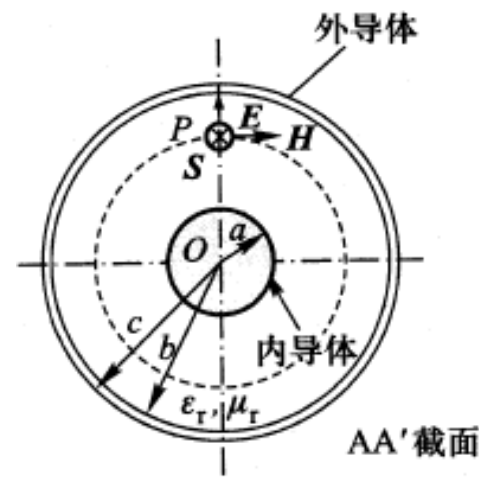
$$= \frac{U_0}{\rho \ln \frac{b}{a}} \mathbf{e}_\rho \times \frac{U_0}{R 2\pi \rho} \mathbf{e}_\phi$$

$$= \frac{U_0^2}{2\pi R \ln \frac{b}{a}} \frac{1}{\rho^2} \mathbf{e}_z \quad (a \leq \rho \leq b)$$



S : 选择半径为 $\rho=c$ 的电缆最外层圆柱面

$$\begin{aligned} -\oint_S (\mathbf{E} \times \mathbf{H}) \cdot d\mathbf{S} &= -\left[\int_{S_l} (\mathbf{E} \times \mathbf{H}) \cdot d\mathbf{S} \right. \\ &\quad \left. + \int_{S_r} (\mathbf{E} \times \mathbf{H}) \cdot d\mathbf{S} + \int_{S_c} (\mathbf{E} \times \mathbf{H}) \cdot d\mathbf{S} \right] \\ &= -\int_{S_l} S_p \cdot d\mathbf{S} - \int_{S_r} S_p \cdot d\mathbf{S} \end{aligned}$$



4. 动态电磁场 基本理论与准静态电磁场



$$-\oint_S (\mathbf{E} \times \mathbf{H}) \cdot d\mathbf{S}$$

$$= -\int_{S_l} \mathbf{S}_P \cdot d\mathbf{S} - \int_{S_r} \mathbf{S}_P \cdot d\mathbf{S}$$

$$-\int_{S_l} \mathbf{S}_P \cdot d\mathbf{S}$$

$$= -\int_a^b \frac{U_0^2}{2\pi R \ln \frac{b}{a}} \frac{1}{\rho^2} \mathbf{e}_z \cdot (-\mathbf{e}_z) 2\pi \rho d\rho = \frac{U_0^2}{R}$$

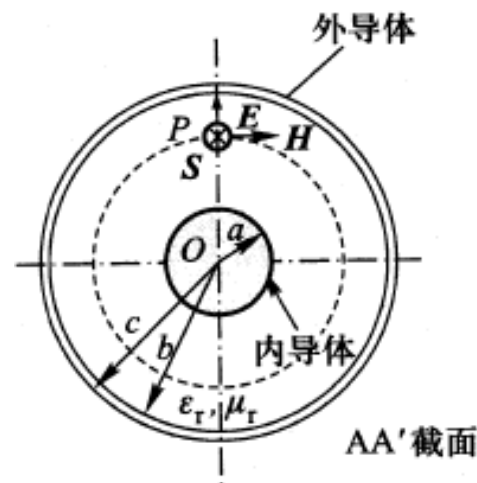
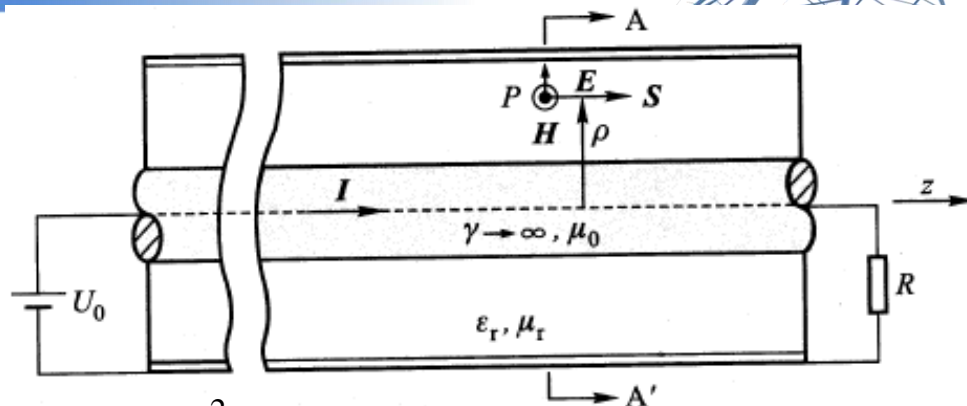
$$-\int_{S_r} \mathbf{S}_P \cdot d\mathbf{S} = -\int_a^b \frac{U_0^2}{2\pi R \ln \frac{b}{a}} \frac{1}{\rho^2} \mathbf{e}_z \cdot (\mathbf{e}_z) 2\pi \rho d\rho = -\frac{U_0^2}{R}$$

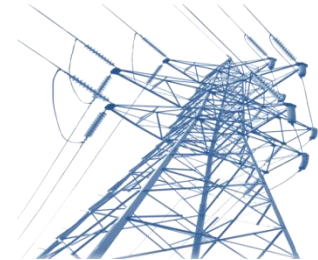
$$\Rightarrow -\oint_S (\mathbf{E} \times \mathbf{H}) \cdot d\mathbf{S} = P = 0$$

$$\Rightarrow P_R = \int_{S_r} \mathbf{S}_P \cdot d\mathbf{S} = \frac{U_0^2}{R}$$

电缆中电功率损耗为零

电缆提供给电阻的功率





4. 动态电磁场 基本理论与准静态电磁场

4.4 电磁位

4.4.1 电磁位 洛伦兹规范

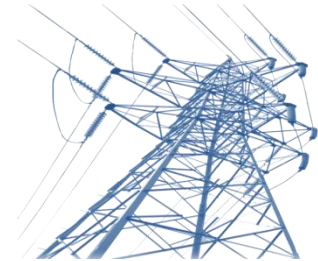
$$\text{由 } \nabla \cdot \mathbf{B} = 0 \quad \Rightarrow \quad \mathbf{B} = \nabla \times \mathbf{A} \quad (1)$$

$$\text{又由 } \nabla \times \mathbf{E} = -\frac{\partial \mathbf{B}}{\partial t} \quad \Rightarrow \quad \nabla \times \left(\mathbf{E} + \frac{\partial \mathbf{A}}{\partial t} \right) = 0$$

$$\text{由无旋场的特性可知 } \mathbf{E} = -\nabla \varphi - \frac{\partial \mathbf{A}}{\partial t} \quad (2)$$

即可基于位函数组 \mathbf{A} - φ 描述动态电磁场，将（1）（2）及媒质构成方程代入如下麦克斯韦方程，

$$\left\{ \begin{array}{l} \nabla \times \mathbf{H} = \mathbf{J} + \frac{\partial \mathbf{D}}{\partial t} \\ \nabla \cdot \mathbf{D} = \rho \end{array} \right. \Rightarrow \left\{ \begin{array}{l} \nabla^2 \mathbf{A} - \mu \varepsilon \frac{\partial^2 \mathbf{A}}{\partial t^2} - \nabla \left(\nabla \cdot \mathbf{A} + \mu \varepsilon \frac{\partial \varphi}{\partial t} \right) = -\mu \mathbf{J} \quad (3) \\ \nabla^2 \varphi + \frac{\partial}{\partial t} (\nabla \cdot \mathbf{A}) = -\frac{\rho}{\varepsilon} \quad (4) \end{array} \right.$$



4. 动态电磁场 基本理论与准静态电磁场

4.4.1 电磁位 洛伦兹规范

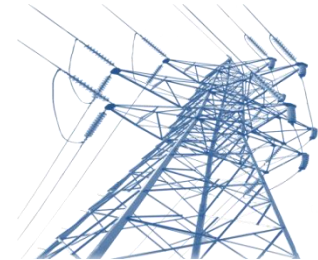
思考：

- (1) 要求解 \mathbf{A} ，需要确保 \mathbf{A} 的唯一性，即要规定 \mathbf{A} 的散度和旋度；
- (2) 要求解 \mathbf{A} 、 φ ，需要对方程进行解耦；

只有令： $\nabla \cdot \mathbf{A} = -\mu\epsilon \frac{\partial \varphi}{\partial t}$ **洛伦兹规范**

$$\Rightarrow \left\{ \begin{array}{l} \nabla^2 \mathbf{A} - \mu\epsilon \frac{\partial^2 \mathbf{A}}{\partial t^2} = -\mu \mathbf{J} \quad (5) \\ \nabla^2 \varphi - \mu\epsilon \frac{\partial^2 \varphi}{\partial t^2} = -\frac{\rho}{\epsilon} \quad (6) \end{array} \right.$$

\Rightarrow 电磁位非齐次波动方程

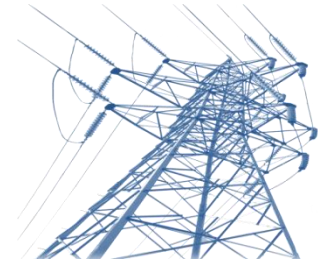


4. 动态电磁场 基本理论与准静态电磁场

4.4.2 非齐次波动方程

对于时谐场，非齐次波动方程的复数形式为

$$\left\{ \begin{array}{l} \nabla^2 \dot{\mathbf{A}} + k^2 \dot{\mathbf{A}} = -\mu \dot{\mathbf{J}} \\ \nabla^2 \dot{\varphi} + k^2 \dot{\varphi} = -\frac{\rho}{\varepsilon} \end{array} \right. \quad \begin{array}{l} \text{非齐次的亥} \\ \text{姆霍兹方程} \end{array} \quad k = \omega \sqrt{\mu \varepsilon} \quad (\text{rad} / \text{m}) \quad \text{波数、相位系数}$$



4. 动态电磁场 基本理论与准静态电磁场

4.4.3 电磁位积分解

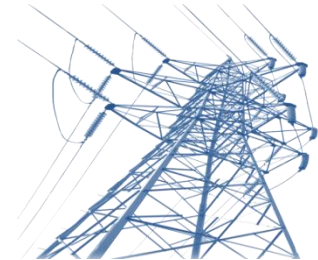
令 $v = \frac{1}{\sqrt{\mu\varepsilon}}$ 称之为电磁波在媒质空间的传播速度

自由空间中: $v = \frac{1}{\sqrt{\mu_0\varepsilon_0}} \approx 3.0 \times 10^8 \text{ (m/s)}$

将波速表达式代入前面 (6) 式, 有 $\nabla^2 \varphi - \frac{1}{v^2} \frac{\partial^2 \varphi}{\partial t^2} = -\frac{\rho}{\varepsilon}$

分析: 上式为线性方程, 且 $\varphi = \varphi(\mathbf{r}, t)$, 与 ρ 有关。

求解思路: 可以先求一个处于坐标原点的时变元电荷 $dq = \rho dV$ 在空间产生的动态标量电位, 再基于叠加原理, 推导出任意分布的时变体电荷对于的空间动态标量位。



4. 动态电磁场 基本理论与准静态电磁场

4.4.3 电磁位积分解

假设坐标原点处有一时变元电荷 dq ，场分布具有对称性，即

$$\varphi(\mathbf{r}, t) = \varphi(r, t)$$

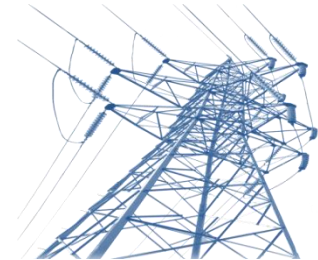
除坐标原点以外，空间中有

$$\nabla^2 \varphi - \frac{1}{v^2} \frac{\partial^2 \varphi}{\partial t^2} = \frac{1}{r} \frac{\partial^2 (r\varphi)}{\partial r^2} - \frac{1}{v^2} \frac{\partial^2 \varphi}{\partial t^2} = 0 \quad 0 < r < \infty \quad \text{关于 } r\varphi \text{ 一维齐次波动方程}$$

通解为： $r\varphi(r, t) = \underbrace{f_1\left(t - \frac{r}{v}\right)}_{\text{位滞后于源}} + \underbrace{f_2\left(t + \frac{r}{v}\right)}_{\text{位超前于源}}$

$$\varphi(r, t) = \frac{f_1(t - r/v)}{r}$$

显然 f_1 与媒质特性、元电荷量 dq 等参数相关。



4. 动态电磁场 基本理论与准静态电磁场

4.4.3 电磁位积分解

当 dq 与时间无关时，即为静电场中电位表达式 $d\varphi(r) = \frac{\rho dV}{4\pi r \varepsilon}$

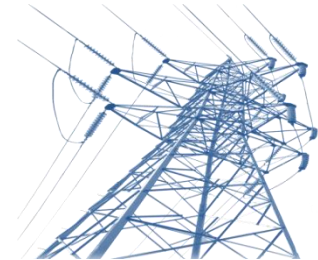
将其与前式比较， $\varphi(\mathbf{r}, t) = \frac{f_1(t - r/v)}{r}$

➡ $d\varphi(\mathbf{r}, t) = \frac{\rho(t - r/v)}{4\pi r \varepsilon} dV$ 区别应该只在时间延迟效应方面

若 dq 不在原点，而是位于 \mathbf{r}' 处，则令 $\mathbf{R} = \mathbf{r} - \mathbf{r}'$ $R = |\mathbf{r} - \mathbf{r}'|$

$$\Rightarrow d\varphi(\mathbf{r}, t) = \frac{\rho\left(\mathbf{r}', t - \frac{|\mathbf{r} - \mathbf{r}'|}{v}\right)}{4\pi \varepsilon |\mathbf{r} - \mathbf{r}'|} dV = \frac{\rho\left(\mathbf{r}', t - \frac{R}{v}\right)}{4\pi \varepsilon R} dV$$

由此可知，场域 V' 中，任意分布的体电荷 $\rho(\mathbf{r}', t)$ ，在场点 \mathbf{r} 处产生的标量位可由上式积分求得



4. 动态电磁场 基本理论与准静态电磁场

4.4.3 电磁位积分解

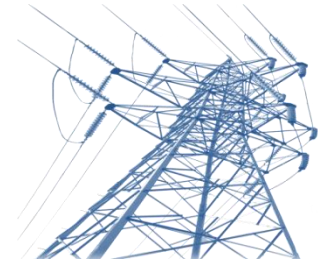
$$\varphi(\mathbf{r}, t) = \frac{1}{4\pi\epsilon} \int_V \frac{\rho\left(\mathbf{r}', t - \frac{R}{v}\right)}{R} dV' \quad \mathbf{A}(\mathbf{r}, t) = \frac{\mu}{4\pi} \int_V \frac{\mathbf{J}\left(\mathbf{r}', t - \frac{R}{v}\right)}{R} dV'$$

动态标量位、动态矢量位（除时间上延迟以外，与静态规律一致）

对于时谐场，为简化分析，时间延迟项仍以坐标原点为基点，记作 $t-r/v$ ，则有

$$\omega\left(t - \frac{r}{v}\right) = \omega t - \frac{\omega}{v} r = \omega t - \left(\omega\sqrt{\epsilon\mu}\right) r = \omega t - kr$$

➡ 时间上的延迟，对应于相位上的滞后，因此可知复数形式的电磁位



4. 动态电磁场 基本理论与准静态电磁场

4.4.3 电磁位积分解

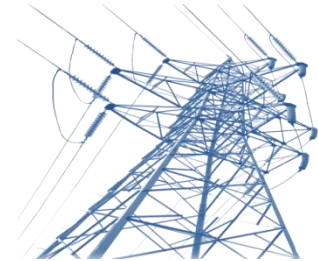
$$\dot{\varphi}(\mathbf{r}) = \frac{1}{4\pi\epsilon} \int_V \frac{\dot{\rho}(\mathbf{r}')}{|\mathbf{r} - \mathbf{r}'|} e^{-jk|\mathbf{r} - \mathbf{r}'|} dV = \frac{1}{4\pi\epsilon} \int_V \frac{\dot{\rho}(\mathbf{r}')}{R} e^{-jkR} dV$$

$$\dot{\mathbf{A}}(\mathbf{r}) = \frac{\mu}{4\pi} \int_V \frac{\dot{\mathbf{J}}(\mathbf{r}')}{|\mathbf{r} - \mathbf{r}'|} e^{-jk|\mathbf{r} - \mathbf{r}'|} dV' = \frac{\mu}{4\pi} \int_V \frac{\dot{\mathbf{J}}(\mathbf{r}')}{R} e^{-jkR} dV'$$

非齐次亥姆霍兹方程的解

$$v = \frac{\omega}{k} = \frac{1}{\sqrt{\mu\epsilon}} \quad k = \omega\sqrt{\mu\epsilon} \quad \lambda = \frac{2\pi}{k}$$





4. 动态电磁场 基本理论与准静态电磁场

4.5 准静态电磁场

4.5.1 电准静态场与磁准静态场

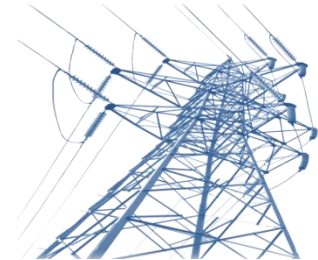
(1) 电准静态场

$$\nabla \times \mathbf{E} = -\frac{\partial \mathbf{B}}{\partial t} \qquad \nabla \cdot \mathbf{D} = \rho$$

对于低频电磁场，感应电场 \mathbf{E}_i 远小于库仑电场 \mathbf{E}_q ，可以忽略时间导数项，可见课本中例4-4。

➡ $\nabla \times \mathbf{E} = 0$ $\nabla \cdot \mathbf{D} = \rho$ 电准静态场（变压器、输电线路等）

➡ $\nabla \times \mathbf{H} = \mathbf{J}_c + \frac{\partial \mathbf{D}}{\partial t}$ $\nabla \cdot \mathbf{B} = 0$ 与电准静态场共存的磁场



4. 动态电磁场 基本理论与准静态电磁场

4.5.1 电准静态场与磁准静态场

(2) 磁准静态场

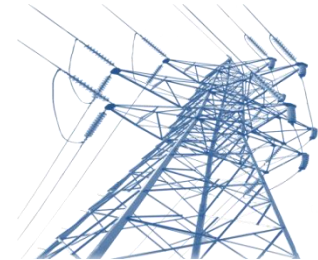
$$\nabla \times \mathbf{H} = \mathbf{J}_c + \frac{\partial \mathbf{D}}{\partial t} \quad \nabla \cdot \mathbf{B} = 0$$

对于低频电磁场，当位移电流 \mathbf{J}_D 远小于传导电流 \mathbf{J}_c 时，可以忽略时间导数项。

➡ $\nabla \times \mathbf{H} = \mathbf{J}_c \quad \nabla \cdot \mathbf{B} = 0$ 磁准静态场（电机、变压器）

➡ $\nabla \times \mathbf{E} = -\frac{\partial \mathbf{B}}{\partial t} \quad \nabla \cdot \mathbf{D} = \rho$ 与磁准静态场共存的电场

例4-4，例4-5一定要好好自学，重要。



4. 动态电磁场 基本理论与准静态电磁场

4.5.2 导电媒质中的自由电荷驰豫过程

电荷驰豫过程：自由电荷体密度随时间衰减的过程

(1) 均匀导电媒质中的电荷驰豫过程：

$$\oint_S \mathbf{J}_c \cdot d\mathbf{S} = -\frac{d}{dt} \int_V \rho dV = \int_V -\frac{\partial \rho}{\partial t} dV \quad \Rightarrow \quad \nabla \cdot \mathbf{J}_c = -\frac{\partial \rho}{\partial t}$$

$$\Rightarrow -\frac{\partial \rho}{\partial t} = \frac{\gamma}{\varepsilon} \nabla \cdot \mathbf{D} \quad \Rightarrow \quad -\frac{\partial \rho}{\partial t} = \frac{\gamma}{\varepsilon} \rho$$

$$\Rightarrow \frac{d\rho}{dt} + \frac{\gamma}{\varepsilon} \rho = 0 \quad \Rightarrow \quad \rho = \rho_0 e^{-(t/\tau_e)} \quad \tau_e = \frac{\varepsilon}{\gamma} \quad \text{驰豫时间}$$

对于良导体，驰豫时间很小，很快衰减为零，该过程为自由电荷驰豫过程。

4. 动态电磁场 基本理论与准静态电磁场

4.5.2 导电媒质中的自由电荷驰豫过程

(2) 分块均匀导电媒质分界面处电荷驰豫:

$$\varepsilon_2 E_{2n} - \varepsilon_1 E_{1n} = \sigma$$

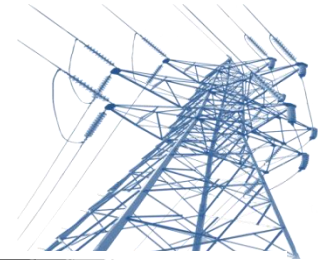
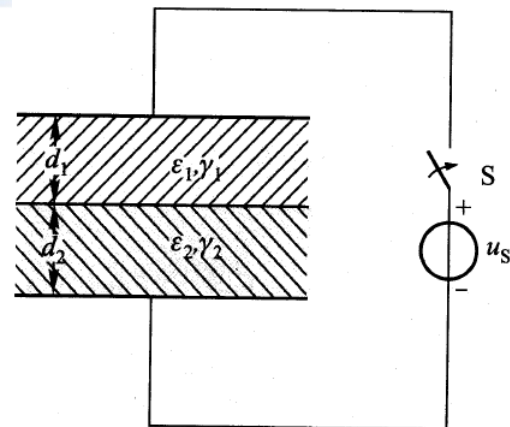
$$J_{2n} - J_{1n} = -\frac{\partial \sigma}{\partial t} \quad \leftarrow \left(\oint_S \mathbf{J}_c \cdot d\mathbf{S} = \int_V -\frac{\partial \rho}{\partial t} dV \right)$$

$$\Rightarrow \gamma_2 E_{2n} - \gamma_1 E_{1n} + \frac{\partial}{\partial t} (\varepsilon_2 E_{2n} - \varepsilon_1 E_{1n}) = 0$$

$$\tau_e = \frac{d_2 \varepsilon_1 + d_1 \varepsilon_2}{d_2 \gamma_1 + d_1 \gamma_2}$$

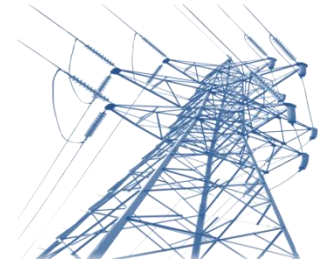
$$\Rightarrow \left. \begin{aligned} \gamma_2 E_2 - \gamma_1 E_1 + \frac{\partial}{\partial t} (\varepsilon_2 E_2 - \varepsilon_1 E_1) &= 0 \\ E_1 d_1 + E_2 d_2 &= u_s \end{aligned} \right\}$$

$$\sigma = \frac{\varepsilon_2 \gamma_1 - \varepsilon_1 \gamma_2}{d_2 \gamma_1 - d_1 \gamma_2} u_s \left(1 - e^{-\frac{t}{\tau_e}} \right)$$



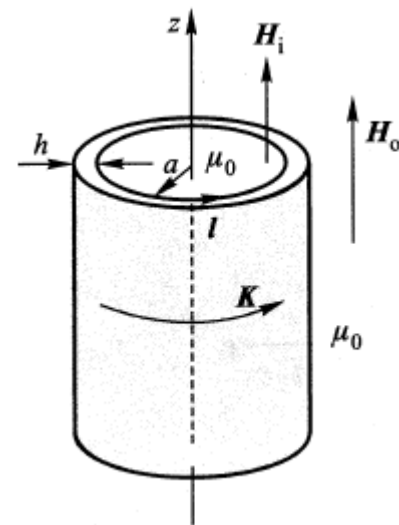
刚充电时=0, 随着时间 t 增加, 面电荷逐渐积累, 至电路达到稳态时为常数。

4. 动态电磁场 基本理论与准静态电磁场



4.5.3 导电媒质中的磁扩散与磁屏蔽

磁扩散：恒定外磁场突然施加在导电媒质中，由于电磁感应，必然在导电媒质中产生感应电流，其去磁效应将使得导电媒质中磁场不会突变。随时间增加，感应电流逐渐衰减为零。最终去磁效应消失，形成恒定磁场。该过程称之为磁扩散（驰豫）过程。



(1) 轴向磁场向导体内的磁扩散

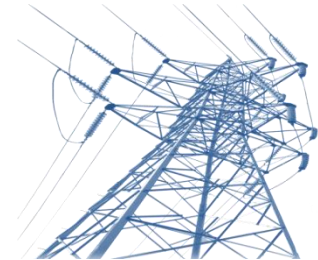
圆柱形导体壳受轴向外磁场激励，为 $H_o(t)$ 。令 $t=0$ 时，突然建立恒定磁场 H_o 。

e_n ：导体(1)指向空气(2) $e_n = e_\rho$

$$\text{由: } e_n \times (H_2 - H_1) = K \quad \longrightarrow \quad e_n \times (H_o - H_i) = K$$

$$\longrightarrow e_\rho \times (H_o - H_i) e_z = K e_\phi \quad \longrightarrow \quad H_i - H_o = K$$

4. 动态电磁场 基本理论与准静态电磁场



4.5.3 导电媒质中的磁扩散与磁屏蔽

由于: $K = hJ = h\gamma E$ 导体壳很薄 $\rightarrow E, J, K$ 均匀

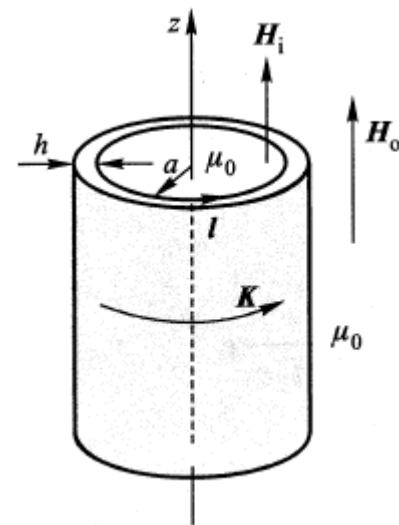
由电磁感应定律, 在导体壳中取回路

$$\oint_l \mathbf{E} \cdot d\mathbf{l} = - \int_s \frac{\partial \mathbf{B}_i}{\partial t} \cdot d\mathbf{S} \quad \Rightarrow \quad \oint_l \frac{K}{h\gamma} dl = - \int_s \frac{\partial \mathbf{B}_i}{\partial t} \cdot d\mathbf{S}$$

$$\Rightarrow \frac{1}{h\gamma} (H_i - H_o) 2\pi a = -\mu_0 \pi a^2 \frac{dH_i}{dt}$$

$$\Rightarrow \frac{dH_i}{dt} + \frac{2}{ah\mu_0\gamma} H_i = \frac{2H_o}{ah\mu_0\gamma} \quad \Rightarrow \quad K = -H_o e^{-\frac{t}{\tau_m}}$$

$$\Rightarrow H_i = H_o \left(1 - e^{-t/\tau_m} \right) \quad \Rightarrow \quad \begin{aligned} K &: -H_o \rightarrow 0 \\ H_i &: 0 \rightarrow H_o \end{aligned}$$



磁扩散 (弛豫) 时间

$$\tau_m = \frac{1}{2} ah\mu_0\gamma$$

4. 动态电磁场 基本理论与准静态电磁场

4.5.3 导电媒质中的磁扩散与磁屏蔽

(2) 横向磁场向导体壳内的磁扩散 (自学)

(3) 磁屏蔽

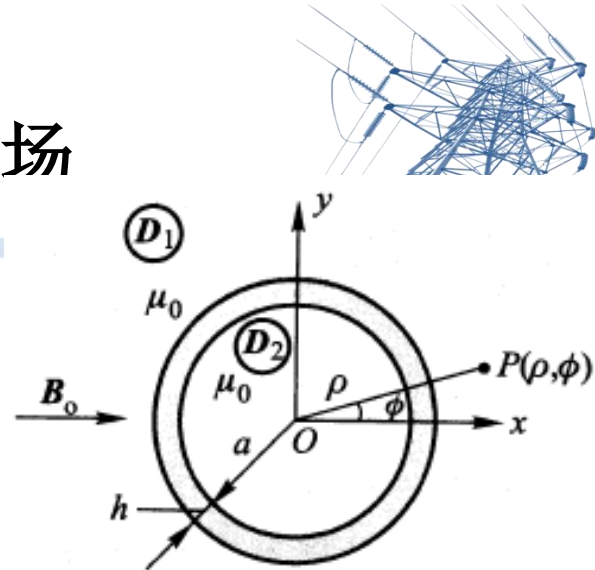
将用作磁屏蔽的圆柱形导磁腔体，突然移入横向恒定磁场 \mathbf{B}_0 中。将在磁体外表面的薄层中产生感应电流。磁扩散逐渐延伸至导磁体内及其空腔中。最后磁扩散趋近稳态，感应电流则趋于零。具体分析如下：对各区域列写基于磁矢量位 \mathbf{A} 的边值问题，

$$A_{z1} = B_0 \rho \sin \phi + \frac{F_1}{\rho} \sin \phi \quad (\rho \geq b)$$

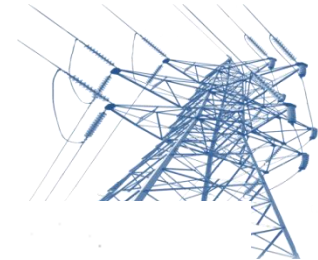
$$A_{z2} = F_2 \rho \sin \phi + \frac{F_3}{\rho} \sin \phi \quad (b < \rho \leq a)$$

$$A_{z3} = F_4 \rho \sin \phi \quad (0 < \rho \leq a)$$

结合分界面边界条件，由计算推导可得到各个系数。



4. 动态电磁场 基本理论与准静态电磁场



4.5.3 导电媒质中的磁扩散与磁屏蔽

(3) 磁屏蔽

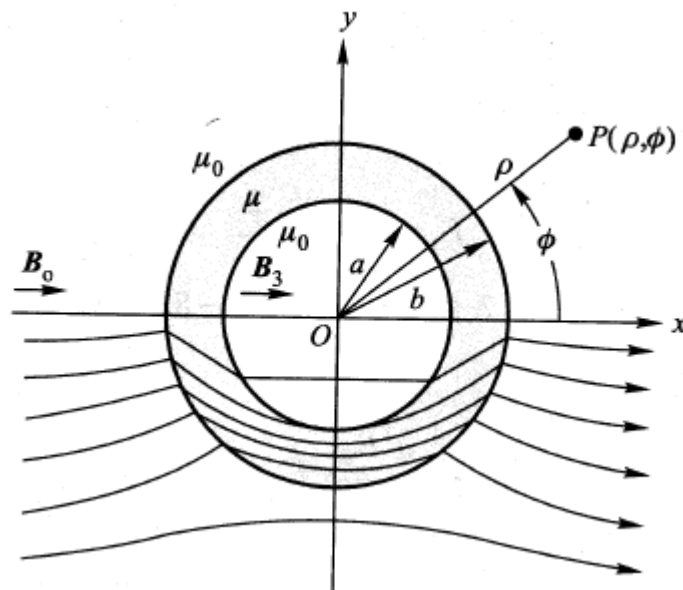
可得空腔内磁场

$$\mathbf{B}_3 = \nabla \times \mathbf{A}_3 = \nabla \times (A_{z3} \mathbf{e}_z)$$

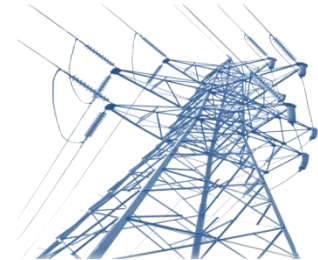
$$= \frac{4B_0\mu_r}{(1+\mu_r^2) - \frac{a^2}{b^2}(1-\mu_r)^2} \left(1 - e^{-t/\tau_m}\right) \mathbf{e}_x \quad \Rightarrow \quad \mathbf{B}_3 = \frac{4B_0\mu_r}{(1+\mu_r^2) - \frac{a^2}{b^2}(1-\mu_r)^2} \mathbf{e}_x$$

$$\text{当 } \mu_r \gg 1 \quad \mathbf{B}_3 = \frac{4B_0}{\mu_r \left(1 - \frac{a^2}{b^2}\right)} \mathbf{e}_x$$

导磁腔体具有明显的磁屏蔽作用



4. 动态电磁场 基本理论与准静态电磁场



4.5.4 集肤效应 涡流

(1) 集肤效应：导电媒质中通以正弦电流后，变化磁场在导电媒质中产生于磁场交链的感应电磁场和感应电流，称之为涡流。涡流使导电媒质中场量（电流密度）趋于表面分布，且沿着纵深方向衰减，称之为集肤效应。

磁准静态场

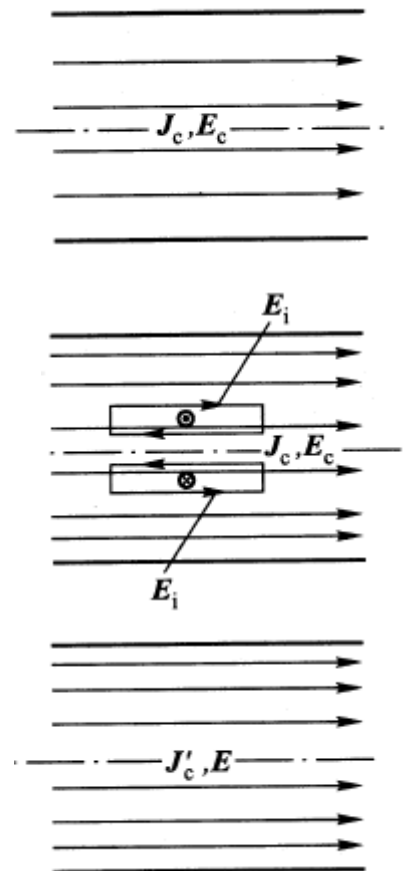
$$\begin{aligned} \nabla \times \mathbf{H} &= \gamma \mathbf{E} & \nabla \times \mathbf{E} &= -\frac{\partial \mathbf{B}}{\partial t} \\ \nabla \cdot \mathbf{B} &= 0 & \nabla \cdot \mathbf{D} &= 0 \end{aligned}$$

➡

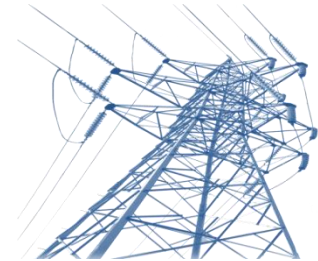
$$\nabla^2 \mathbf{E} = \mu\gamma \frac{\partial \mathbf{E}}{\partial t} \quad \nabla^2 \mathbf{H} = \mu\gamma \frac{\partial \mathbf{H}}{\partial t}$$

➡

$$\nabla^2 \dot{\mathbf{E}} = j\omega\mu\gamma \dot{\mathbf{E}} = p^2 \dot{\mathbf{E}} \quad \nabla^2 \dot{\mathbf{H}} = j\omega\mu\gamma \dot{\mathbf{H}} = p^2 \dot{\mathbf{H}}$$



4. 动态电磁场 基本理论与准静态电磁场



4.5.4 集肤效应 涡流

$$p = \sqrt{j\mu\omega\gamma} = \sqrt{\frac{\mu\omega\gamma}{2}}(1+j) = \frac{1}{d}(1+j)$$

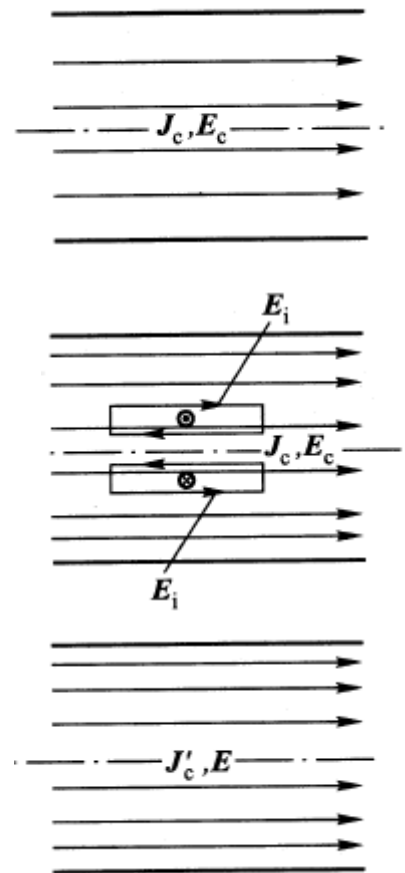
对于上述时谐场方程，假定有半无限大平面导体($x>0$)，电流沿 y 方向流动，则此一维场有，

$$\dot{\mathbf{E}} = \dot{E}_y(x)\mathbf{e}_y \quad \text{代入前式可解}$$

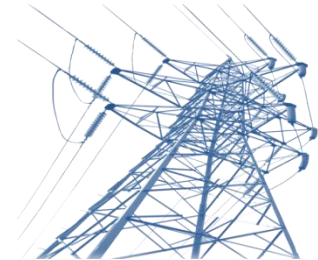
$\dot{E}_y = Ae^{-px} + Be^{px}$ 当 x 趋于无穷时，电场为有限值，故 $B=0$

设在 $x=0$ 处， $\dot{E}_y = \dot{E}_y(0) = A$ 则有

$$\dot{E}_y = Ae^{-px} = \dot{E}_y(0)e^{-\frac{1}{d}(1+j)x} = \dot{E}_y(0)e^{-\frac{x}{d}}e^{-j\frac{x}{d}}$$



4. 动态电磁场 基本理论与准静态电磁场



4.5.4 集肤效应 涡流

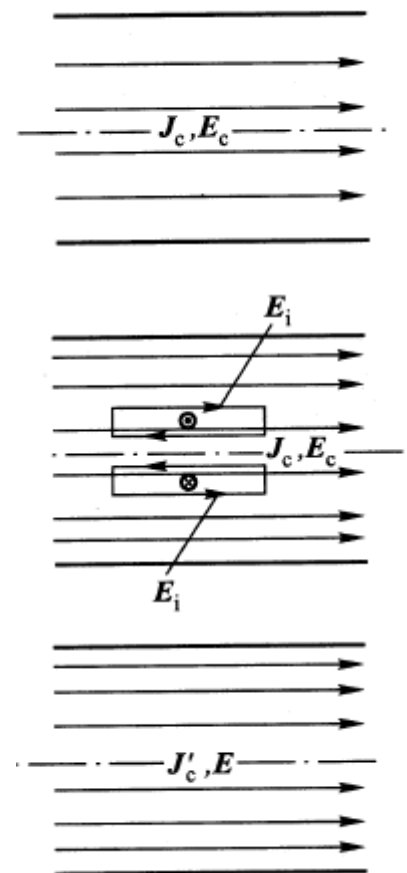
当 $x=d$ 时, 有 $\left| \dot{E}_y \right| = \left| \dot{E}_y(0) \right| / e$

即距离表面 $x=d$ 处, 场强值相比 $x=0$ 处, 减小 e 倍。

则距离 d 称之为该导体的集肤深度, 即为

$$d = \sqrt{\frac{2}{\mu \omega \gamma}}$$

频率/Hz	铝/mm	铜/mm	碳钢/mm
50	11.546	9.346	0.919
10^3	2.582	2.090	0.205
10^6	0.082	0.066	0.006



4. 动态电磁场 基本理论与准静态电磁场

4.5.4 集肤效应 涡流

(2) 铁心叠片中的涡流

由于 $h \gg a, l \gg a \Rightarrow \dot{\mathbf{B}} = \dot{B}_z(x) \mathbf{e}_z$ 即涡流分布位于 xoy 平面

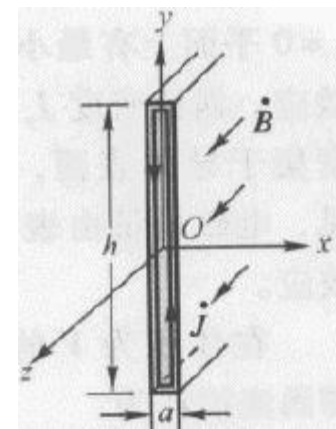
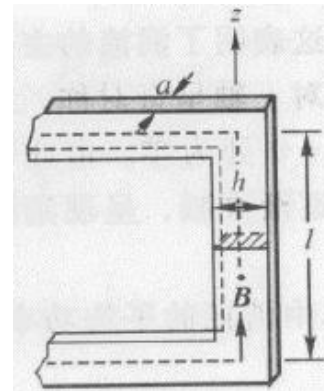
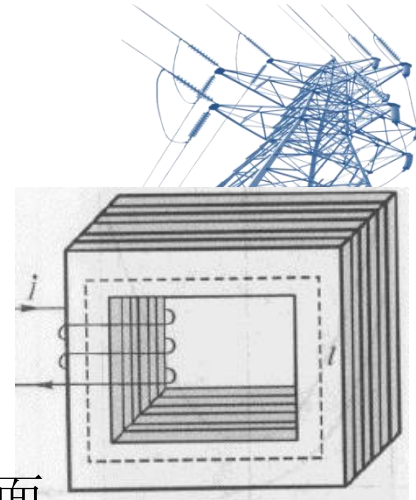
对于时谐磁场，应满足以下方程

$$\frac{d^2 \dot{B}_z(x)}{dx^2} = j\omega\mu\gamma \dot{B}_z = p^2 \dot{B}_z$$

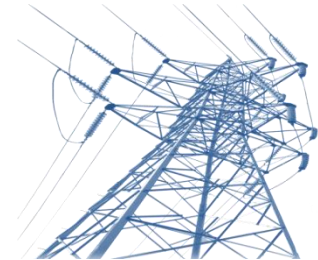
$$\Rightarrow \dot{B}_z = \dot{B}_0 \cosh(px) \quad \dot{B}_0: x=0 \text{ 处的磁感应强度}$$

$$\text{进一步可得} \quad \dot{E}_y = -\frac{\dot{B}_0 p}{\mu\gamma} \sinh(px) = \dot{E}_{y0} \sinh(px)$$

$$\dot{J}_y = -\frac{\dot{B}_0 p}{\mu} \sinh(px) = \dot{J}_{y0} \sinh(px)$$



4. 动态电磁场 基本理论与准静态电磁场



4.5.4 集肤效应 涡流

$$|\dot{B}_z| = B_z = |\dot{B}_0| \sqrt{\frac{1}{2} [\cosh(2Kx) + \cos(2Kx)]}$$

$$|\dot{J}_z| = J_z = |\dot{J}_{y0}| \sqrt{\frac{1}{2} [\cosh(2Kx) - \cos(2Kx)]}$$

进一步可得 $K = \sqrt{\frac{\mu\omega\gamma}{2}}$

$$P = \int_V \frac{J_y^2}{\gamma} dV = \frac{1}{12} \gamma \omega^2 a^2 V B_{zav}^2$$

B_{zav} $[-a/2, a/2]$ 区间有效值的平均值

